

01,04

Радиационный теплообмен сферических частиц с пластинами металла и диэлектрика

© Г.В. Дедков, А.А. Кясов

Кабардино-Балкарский государственный университет,
Нальчик, Россия

E-mail: gv_dedkov@mail.ru

(Поступила в Редакцию 26 июля 2010 г.)

В рамках флуктуационной электродинамики исследуется радиационный теплообмен неподвижной сферической частицы с пластиной. Численно анализируются случаи металлических и диэлектрических материалов частиц и пластин (золота и диоксида кремния). Сравниваются различные теоретические модели для термического контактанса, а также проводится сопоставление результатов с имеющимися экспериментальными данными.

1. Введение

Теория радиационного теплообмена (РТ) нагретых тел с различной температурой, разделенных узким вакуумным зазором, развивалась несколькими группами авторов [1–15]. РТ, а также силы Ван-дер-Ваальса–Казимира консервативно-диссипативного характера являются проявлением флуктуационного электромагнитного взаимодействия. Для возникновения РТ необходимым условием является наличие разности температур, тогда как силы Ван-дер-Ваальса и Казимира существуют и между холодными телами.

Анализ литературы показывает, что как в теоретическом, так и в экспериментальном плане изучению РТ в диапазоне нано- и микрометровых расстояний между телами до сих пор уделялось гораздо меньше внимания, чем изучению сил Ван-дер-Ваальса–Казимира (см., например, [15–18]). К хорошо изученным теоретическим конфигурациям относятся конфигурации двух параллельных пластин [3,6,8,15], двух сферических частиц в дипольном приближении [11,12,19,20] и дипольной частицы над плоской поверхностью (толстой пластиной) [15,21]. Поскольку структура флуктуационного электромагнитного поля вблизи искривленных поверхностей сложной формы плохо поддается теоретическому анализу, названные конфигурации могут считаться реперными.

Экспериментальные исследования РТ между близко расположенными телами весьма немногочисленны [22–28]. Только в последних из них использовалась конфигурация сферической частицы над пластиной, более удобная для позиционирования [26–28]. В более ранних работах [22–24] рассматривалась конфигурация параллельных пластин, причем результаты [22] носили качественный характер, а в работе [23] минимальное расстояние между пластинами превышало несколько микрометров, вследствие чего теплообмен, связанный с туннелированием ближних электромагнитных мод, был незначителен. Авторам [24], использовавшим конфигурацию иглы туннельного микроскопа над пластиной, удалось измерить радиационный контактанс при ширине зазора 0.05–0.2 μm, но количественная интерпретация результатов является не совсем удовлетворительной

из-за отсутствия точной информации о форме иглы. По-видимому, подобная неопределенность характерна и для работы [25], в которой в аналогичной ситуации величина зазора изменялась в пределах 1–100 nm.

В настоящей работе преследуются две цели: 1) обсуждение и тестирование полученных нами ранее теоретических выражений [15,19,20] для скорости радиационной теплоотдачи малых частиц (металлических и диэлектрических) на основе численного анализа; 2) сравнение результатов расчета радиационно-теплого контактанса с экспериментальными данными [26–28].

2. Основные теоретические соотношения

Общее выражение для скорости радиационной теплоотдачи малой сферической частицы, имеющей температуру T_1 , удаленной на расстояние z от пластины с температурой T_2 , находящейся в тепловом равновесии с вакуумным фоном, было получено в наших работах [15]. Оно отвечает дипольному приближению флуктуационной электродинамики $R/z \ll 1$, $R \ll \lambda_0$ (R — радиус частицы, λ_0 — характерная длина волны поглощаемого излучения) и имеет вид

$$\begin{aligned}
 dQ/dt = & -\frac{4\hbar}{\pi c^3} \int_0^\infty d\omega \omega^4 [\Pi(\omega, T_1) - \Pi(\omega, T_2)] \\
 & \times [\alpha_e''(\omega) + \alpha_m''(\omega)] - \frac{2\hbar}{\pi c^3} \int_0^\infty d\omega \omega^4 [\Pi(\omega, T_1) - \Pi(\omega, T_2)] \\
 & \times \int_0^\infty du \exp\left(-\frac{2\omega z}{c} u\right) [\alpha_e'' \operatorname{Im} f_e + \alpha_m'' \operatorname{Im} f_m] \\
 & - \frac{2\hbar}{\pi c^3} \int_0^\infty d\omega \omega^4 [\Pi(\omega, T_1) - \Pi(\omega, T_2)] \int_0^1 du \\
 & \times \left[\operatorname{Re} \left(\tilde{f}_e \exp\left(\frac{2i\omega z}{c} u\right) \right) \alpha_e'' + \operatorname{Re} \left(\tilde{f}_m \exp\left(\frac{2i\omega z}{c} u\right) \right) \alpha_m'' \right], \quad (1)
 \end{aligned}$$

$$f_e(u, \omega) = (2u^2 + 1)\Delta_e(u, \omega) + \Delta_m(u, \omega), \quad (2)$$

$$f_m(u, \omega) = (2u^2 + 1)\Delta_m(u, \omega) + \Delta_e(u, \omega), \quad (3)$$

$$\tilde{f}_e(u, \omega) = (1 - 2u^2)\tilde{\Delta}_e(u, \omega) + \tilde{\Delta}_m(u, \omega), \quad (4)$$

$$\tilde{f}_m(u, \omega) = (1 - 2u^2)\tilde{\Delta}_m(u, \omega) + \tilde{\Delta}_e(u, \omega), \quad (5)$$

$$\Delta_e(u, \omega) = \frac{\varepsilon(\omega)u - \sqrt{u^2 + 1 - \varepsilon(\omega)}}{\varepsilon(\omega)u + \sqrt{u^2 + 1 - \varepsilon(\omega)}},$$

$$\Delta_m(u, \omega) = \frac{u - \sqrt{u^2 + 1 - \varepsilon(\omega)}}{u + \sqrt{u^2 + 1 - \varepsilon(\omega)}}, \quad (6)$$

$$\tilde{\Delta}_e(u, \omega) = \frac{\varepsilon(\omega)u - \sqrt{u^2 + \varepsilon(\omega) - 1}}{\varepsilon(\omega)u + \sqrt{u^2 + \varepsilon(\omega) - 1}},$$

$$\tilde{\Delta}_m(u, \omega) = \frac{u - \sqrt{u^2 + \varepsilon(\omega) - 1}}{u + \sqrt{u^2 + \varepsilon(\omega) - 1}}. \quad (7)$$

В приведенных формулах $\alpha''_{e,m}(\omega) \sim R^3$ обозначают зависящие от частоты мнимые части дипольной электрической и магнитной поляризуемости, $\varepsilon(\omega)$ и $\mu(\omega)$ — диэлектрическая и магнитная проницаемость материала пластины, $\Pi(\omega, T) = (\exp(\hbar\omega/k_B T) - 1)^{-1}$ — распределение Бозе–Эйнштейна для фотонов, остальные обозначения стандартны. Для простоты записи аргументы некоторых функций в (1) опущены.

Первое интегральное слагаемое в правой части (1), не зависящее от расстояния z , описывает теплообмен между частицей и вакуумным фоном, второе и третье — теплообмен с пластиной, осуществляемый ближними и радиационно-волновыми модами поверхности. Для нейтрального атома в основном состоянии ($T_1 = 0$) формула (1) предсказывает „нагрев“, который физически можно трактовать как проявление сдвига уровней энергии атома вблизи нагретой поверхности [15]. Отметим, что наличие двух вкладов в скорость теплоотдачи частицы отражает независимость корреляций флуктуационного электромагнитного поля в веществе пластины и в вакуумном фоне. Как показывают численные расчеты, вклады второго и третьего интегральных слагаемых (1), связанные с поверхностными модами ближнего и волнового характера, при достаточно больших расстояниях z противоположны по знаку и асимптотически гасят друг друга (см. линии 1, 2 на рис. 1). В итоге остается только вклад теплоотдачи частицы в вакуум. Таким образом, в рассматриваемой конфигурации вакуумная асимптотика скорости теплоотдачи реализуется естественным образом. В то же время неучет вакуумного вклада, показанного линией 3 на рис. 1, приводит к физически некорректному поведению скорости теплоотдачи в определенном интервале расстояний (ср. линии 1 и 2): $dQ/dt > 0$ при $T_1 < T_2$. Отмеченная особенность свидетельствует о принципиальной роли вакуумного фона в данной конфигурации [15].

Следует отметить, что асимптотика Стефана–Больцмана для теплового излучения частицы не вытекает из формулы (1) по определению, так как отвечает

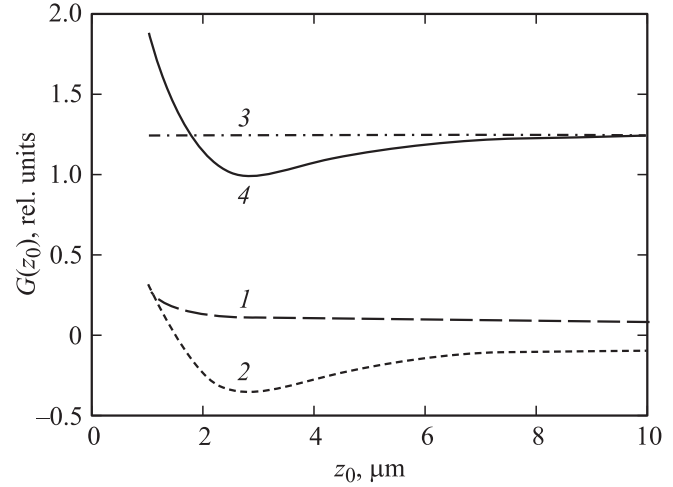


Рис. 1. Отдельные вклады в тепловой контактанс малых металлических частиц (см. (1)). 1 — вклад мод ближнего поля, 2 — вклад волновых поверхностных мод, 3 — вклад излучения в вакуум (первое слагаемое (1)), 4 — результирующая зависимость.

условию применимости геометрической оптики: $R \gg \lambda_0$. В этом приближении излучение в вакуум определяется формулой (9), умноженной на площадь поверхности частицы $4\pi R^2$. В промежуточном интервале соотношений между R и λ_0 для расчета этой части теплоотдачи частицы следует использовать теорию Ми [29].

Теперь рассмотрим теплообмен в конфигурации параллельных пластин, следуя работам [3,6,8,15]. Выражение для теплового потока между пластинами (полупространствами) с температурами T_1 и T_2 , отнесенное к единице площади вакуумного контакта, имеет вид

$$S(l) = \frac{\hbar}{4\pi^2} \int_0^\infty d\omega \omega [\Pi(\omega, T_1) - \Pi(\omega, T_2)] \times \sum_{\mu=e,m} \left[\int_0^{\omega/c} dk k \frac{(1 - |\Delta_{1\mu}|^2 - |\Delta_{2\mu}|^2)}{|D_\mu|^2} + 4 \int_{\omega/c}^\infty dk k \frac{\text{Im} \Delta_{1\mu} \text{Im} \Delta_{2\mu} \exp(-2q_0 l)}{|D_\mu|^2} \right], \quad (8)$$

где $q_0 = (k^2 - \omega^2/c^2)^{1/2}$, $D_\mu = 1 - \Delta_{1\mu}\Delta_{2\mu} \exp(-2q_0 l)$, индексы 1, 2 нумеруют пластины, а μ — волны различной поляризации. Коэффициенты отражения $\Delta_{i\mu}$ определяются формулами (6), (7) для каждой пластины с учетом типа материалов и поляризации. Для того чтобы записать их в терминах волнового вектора k , нужно в (6) сделать подстановку $u^2 + 1 = kc/\omega$, а в формуле (7) $1 - u^2 = kc/\omega$ соответственно. Первое слагаемое в (8) слабо зависит от расстояния l между пластинами и определяет тепловой поток, переносимый радиационными модами. В пределе черного материала пластин

$\Delta_{1\mu} = \Delta_{2\mu} = 0$ этот поток равен разности потоков, идущих от одной пластины к другой (в соответствии с законом Стефана–Больцмана). Второе слагаемое в (8) описывает поток излучения, переносимый ближними электромагнитными модами. Существенно, что специфика вакуумного фона в данном случае отсутствует в самой постановке задачи, поэтому при $l \rightarrow \infty$ из (8) принципиально невозможно получить мощность теплового излучения в вакуум от одной изолированной пластины [2]

$$S^{\text{vac}} = \frac{\hbar}{4\pi^2} \int_0^\infty d\omega \omega [\Pi(\omega, T_1) - \Pi(\omega, T_2)] \times \int_0^{\omega/c} dk k (2 - |\Delta_{1e}|^2 - |\Delta_{1m}|^2). \quad (9)$$

В формулах (8), (9) $S > 0$ отвечает потоку излучения, уходящему от более нагретой пластины, а формулы для dQ/dt , такие как (1) и далее (10), (14), записаны таким образом, что уходящему излучению соответствует $dQ/dt < 0$.

Конфигурация сферических частиц малого радиуса в дипольном приближении также допускает точное аналитическое решение. В случае, когда частицы имеют температуры T_1, T_2 и находятся в равновесном вакуумном фоне с температурой T_3 , для результирующей скорости теплоотдачи первой частицы следует [19,20]

$$dQ_{/1}/dt = \frac{4\hbar}{\pi c^3} \int_0^\infty d\omega \omega^4 (\alpha''_{1e}(\omega) + \alpha''_{1m}(\omega)) \times [\Pi(\omega, T_1) - \Pi(\omega, T_2)] + \frac{4\hbar}{\pi r^6} \int_0^\infty d\omega \omega [\alpha''_{1e}(\omega) \alpha''_{2e}(\omega) + \alpha''_{1m}(\omega) \alpha''_{2m}(\omega)] (3 + (\omega r/c)^2 + (\omega r/c)^4) \times [\Pi(\omega, T_1) - \Pi(\omega, T_2)], \quad (10)$$

где r — расстояние между центрами частиц с радиусами R_1, R_2 , индексы коэффициентов $\alpha_{ie,m}$ нумеруют частицы ($i = 1, 2$) и тип поляризуемости. Условия применимости дипольного приближения означают

$$R_1, R_2 \ll r, \quad R_1, R_2 \ll \min(\lambda_{T1}, \lambda_{T2}, \lambda_{T3}), \quad (11)$$

где $\lambda_{T1}, \lambda_{T2}, \lambda_{T3}$ — характерные длины волн равновесного теплового излучения с температурами T_1, T_2, T_3 . Заметим, что данная тепловая конфигурация носит даже более общий характер, чем вначале рассмотренная конфигурация частица–пластина, когда пластина и окружающий фон находятся в тепловом равновесии.

В формуле (10), как и в (1), первое интегральное слагаемое описывает вклад в теплоотдачу (излучение) частицы в вакуум, а второе — вклад в теплоотдачу непосредственно другой частице. Очень близкие по виду

выражения для второго слагаемого в (10) были получены также другими авторами [8,10–12], но величина численного коэффициента перед интегралом в них значительно отличалась от $4/\pi$ (см. [19,20]). Так, в ранней работе [8] этот коэффициент был равен $1/2\pi^2$, а в более поздней работе [10] тех же авторов — $128/\pi$; $1/4\pi^3$ — в работе [11] и, наконец, $1/8\pi^3$ — в работе [12]. Этот разнобой в итоге приводит к возможному изменению оценок абсолютной величины скорости теплообмена в 10^4 раз! Отмеченные расхождения, на наш взгляд, обусловлены неточностями численных множителей при записи корреляторов флуктуационного электромагнитного поля частиц.

Рассмотрение кондактанса двух сферических частиц в контексте настоящей работы важно для сравнения эффективности теплоотдачи с конфигурацией сфера–пластина, а также для проверки предположения авторов [26] о том, что тепловой кондактанс в последнем случае в 2 раза выше, чем в конфигурации двух сфер при одинаковой ширине зазора.

3. Скорость теплоотдачи сферической частицы при малой ширине зазора

Для частицы большого радиуса R , находящейся вблизи пластины, формула (8) непосредственно неприменима. Аналогичная ситуация имеет место и при вычислении сил Казимира. В этом случае в расчетах сил применяется локально-плоское приближение (LFA) [17], по аналогии с которым скорость радиационной теплоотдачи сферической частицы выражается через скорость теплоотдачи плоской поверхности [8,10,28]

$$dQ/dt = -2\pi \int_0^\infty d\rho \rho S(z(\rho)) \approx -2\pi R \int_{z_0}^\infty S(z) dz, \quad (12)$$

где z_0 — минимальное расстояние сферы от поверхности. Область применимости (12) ограничивается условием $z_0/R \ll 1$. Например, в расчетах незапаздывающих сил Казимира погрешность LFA возрастает пропорционально z_0/R [30].

В наших работах [15,20,21] был предложен другой приближенный метод, основанный на использовании формулы (1) в дипольно-аддитивном приближении (DAA). В этом случае она рассматривается как локальное соотношение для малого объема dV вещества сферической частицы. Для этого делается замена $R^3 \rightarrow \frac{3}{4\pi} dV$ в коэффициентах поляризуемости, а затем производится дополнительное интегрирование по объему частицы

$$dQ(z_0)/dt = \int_V f(z) d^3r = \pi z_0^3 \times \int_1^{1+2R/z_0} f(z_0 s) \left[\frac{2R}{z_0} (s-1) - (s-1)^2 \right] ds, \quad s = z/z_0, \quad (13)$$

где $f(z)$ — зависящая от расстояния $z = z_0 s$ функция, стоящая в правой части (1) (второе и третье слагаемые).

Вид вакуумного вклада при этом формально не изменяется. Формула, аналогичная (13), может использоваться и при вычислении сил Казимира [15]. Преимуществом ее является отсутствие ограничения на величину отношения z_0/R : при $z_0/R \gg 1$ формула (13) переходит в (1) и становится точной. В то же время при $z_0/R \ll 1$ ее точность сравнима с точностью LFA (по крайней мере, при вычислении сил Казимира [15]). Отметим также, что DAA принципиально отличается от метода аддитивного суммирования межатомных потенциалов в приближенных расчетах сил Ван-дер-Ваальса–Казимира [17], поскольку в (1) включены эффекты запаздывания, а сама частица, вообще говоря, включает большое число атомов.

Для дальнейших вычислений целесообразно при подстановке (1) в (13) изменить порядок интегрирования по переменным u, s и выполнить интегрирование по переменной s . В результате для скорости теплоотдачи частицы пластине получим

$$\begin{aligned} dQ_s/dt = & -\frac{2\hbar}{\pi c^3} \int_0^\infty d\omega \omega^4 [\Pi(\omega, T_1) - \Pi(\omega, T_2)] \\ & \times \int_0^\infty du Y_1(xu, y) [\alpha_e'' \operatorname{Im} f_e + \alpha_m'' \operatorname{Im} f_m] \\ & - \frac{2\hbar}{\pi c^3} \int_0^\infty d\omega \omega^4 [\Pi(\omega, T_1) - \Pi(\omega, T_2)] \\ & \times \int_0^1 du \left\{ [\operatorname{Re} \tilde{f}_e Y_2(xu, y) - \operatorname{Im} \tilde{f}_e Y_3(xu, y)] \alpha_e'' + (e \rightarrow m) \right\}, \end{aligned} \quad (14)$$

где слагаемое $(e \rightarrow m)$ идентично первому слагаемому, стоящему в фигурных скобках, с соответствующей заменой функций, а вспомогательные функции $Y_{1-3}(x, y)$ приведены в Приложении. Необходимо добавить, что в формуле (14) поляризуемости относятся к единице объема вещества частиц.

Метод DDA был использован нами и для расчета теплообмена сферических частиц большого радиуса R , находящихся в близком вакуумном контакте [19]. В этом случае второе слагаемое формулы (10) интегрируется по объемам сфер, а результирующая формула имеет вид (без учета излучения в вакуум)

$$\begin{aligned} dQ_{12}/dt = & \frac{4\hbar}{\pi} \int_0^\infty d\omega \omega [\alpha_{1e}'' \alpha_{2e}'' + \alpha_{1e}'' \alpha_{2e}''] \\ & \times [3f_1(x) + (\omega R/c)^2 f_2(x) + (\omega R/c)^4 f_3(x)] \\ & \times [\Pi(\hbar\omega, T_2) - \Pi(\omega, T_1)], \quad x = 2R/(2R + z_0), \end{aligned} \quad (15)$$

где z_0 — ширина щели, а функции $f_{1-3}(x)$ приведены в Приложении. Как и в (14), поляризуемости частиц в (15)

нормированы на единицу объема, а частотные аргументы для сокращения записи опущены. Не представляет принципиальных затруднений и получение формулы для dQ_{12}/dt в случае частиц разного радиуса.

4. Результаты расчета радиационно-тепловых контактансов

По определению термический контактанс определяется выражением

$$G(z_0) = \dot{Q}(z_0)/\Delta T, \quad (16)$$

где $\dot{Q}(z_0)$ — скорость теплоотдачи, отвечающая температурам T_1 и T_2 контактирующих тел при ширине зазора z_0 , $\Delta T = T_1 - T_2$. Величина $G(z_0)$ может вычисляться как при конечном значении ΔT , так и в пределе $\Delta T \rightarrow 0$. Поскольку функция $\dot{Q}(z_0)$ возрастает с увеличением разности температур, контактансы, вычисляемые при $\Delta T \rightarrow 0$, всегда несколько меньше, чем при конечной разности температур ΔT .

В случае металлов диэлектрические функции материалов частицы и пластины рассчитывались в приближении Друде с параметрами золота $\omega_p = 1.37 \cdot 10^{16}$ rad/s, $\tau = 1.89 \cdot 10^{-14}$ s. Для диэлектриков расчеты проводились с диэлектрическими характеристиками диоксида кремния [31]. Этот материал имеет два пика инфракрасного поглощения в диапазонах частот от 0.055 до 0.07 eV и от 0.14 до 0.16 eV. Соответствующая диэлектрическая функция аппроксимировалась осцилляторной моделью с двумя пиками.

Поляризуемости частиц определялись стандартными выражениями [32]

$$\alpha_e(\omega) = R^3 \frac{\varepsilon(\omega) - 1}{\varepsilon(\omega) + 2}, \quad (17)$$

$$\begin{aligned} \alpha_m(\omega) = & -0.5R^3 \left[1 - \frac{3}{R^2 k^2} + \frac{3}{Rk} \operatorname{ctg}(Pk) \right], \\ k = & (1 + i)/\delta(\omega), \end{aligned} \quad (18)$$

где $\varepsilon(\omega)$ — диэлектрическая проницаемость, а $\delta(\omega)$ — толщина скин-слоя. Как было показано нами в [33], в расчетах сил Казимира и теплообмена для металлов вклад электрической поляризации частицы по сравнению с вкладом магнитной пренебрежимо мал. Напротив, для диэлектрических частиц можно пренебречь вкладом магнитной поляризации.

В модели DAA для конфигурации сфера–пластина при расчетах магнитной поляризуемости величина радиуса в квадратных скобках (18) остается как дополнительный параметр \tilde{R} , отличный от полного радиуса частицы R . В наших расчетах величина \tilde{R} выбиралась с таким условием, чтобы при минимальной ширине зазора 1–10 nm величина теплового контактанса согласовывалась с расчетом в модели LFA. При этом мы получили оценку

$\tilde{R} = 50\text{--}60\text{ nm}$ при вариации радиуса R в пределах от 0.1 до $50\text{ }\mu\text{m}$. Полученное значение параметра \tilde{R} весьма близко к типичным значениям толщины скин-слоя для излучения в тепловом диапазоне и в то же время $\tilde{R} \ll R$, что необходимо для возможности применения аддитивного приближения.

Расчет по формулам (8), (12) сопряжен с необходимостью интегрирования быстро осциллирующих функций для радиационно-волновых вкладов. Для этой цели применялся численный метод, аналогичный использованному в работе [5], но с заменой интеграла по волновым векторам на сумму интегралов по периодам осцилляций подинтегральных функций.

На рис. 2, 3 приведены результаты расчета контактанса сферических частиц золота с радиусами 5 и $25\text{ }\mu\text{m}$, находящихся вблизи поверхности золота ($T = 300\text{ K}$,

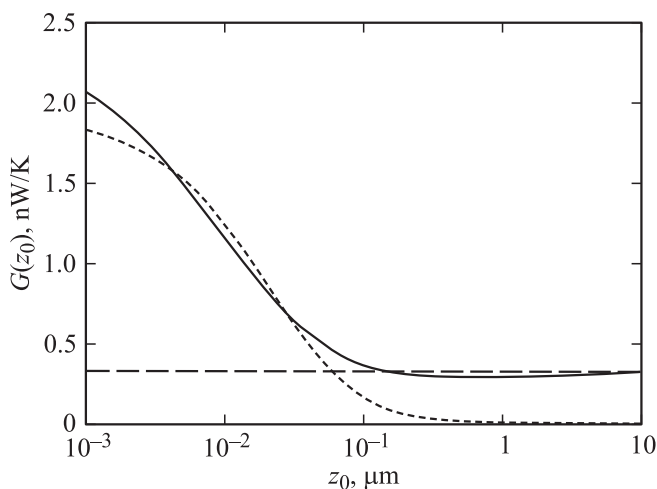


Рис. 2. Радиационно-тепловой контактанс сферических частиц Au в вакуумном контакте с пластиной Au ($R = 5\text{ }\mu\text{m}$, $T = 300\text{ K}$, $\Delta T \rightarrow 0$). Сплошная линия — DAA с учетом излучения в вакуум, пунктирная — LFA, штриховая — вклад излучения в вакуум (первое слагаемое (1)).

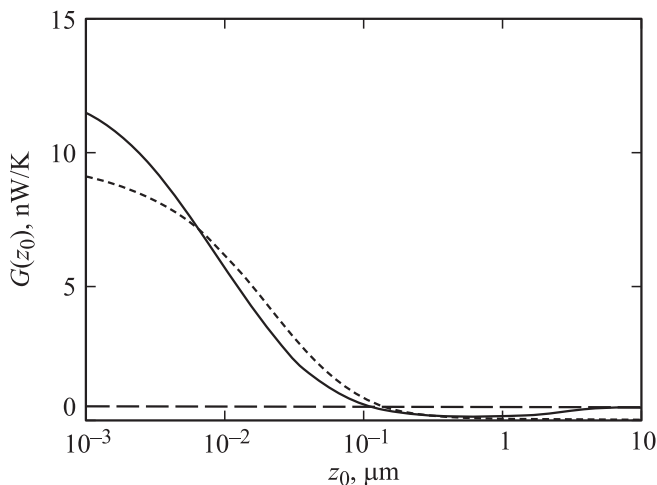


Рис. 3. То же, что на рис. 2, при $R = 25\text{ }\mu\text{m}$. Вклад излучения в вакуум (штриховая линия) рассчитан в приближении Стефана-Больцмана (см. (9)).

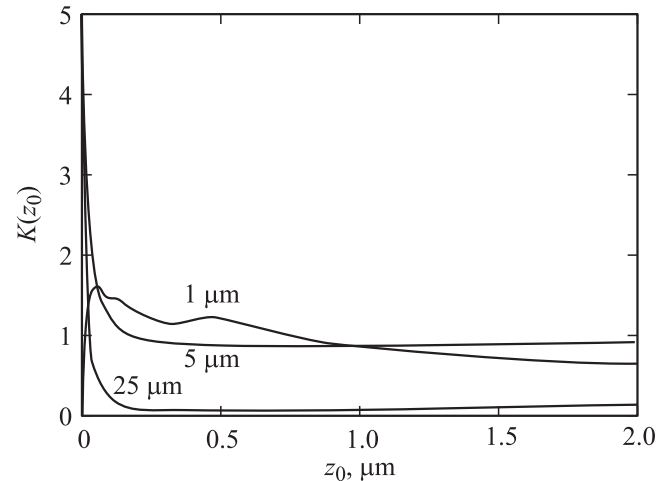


Рис. 4. Отношение контактансов в конфигурациях сфера-пластина (DAA) и сфера-сфера (см. (10)) для частиц Au и пластины Au. В обоих случаях вклады излучения в вакуум включены в расчет, $T = 300\text{ K}$, $\Delta T \rightarrow 0$. Радиусы частиц указаны около кривых.

$\Delta T \rightarrow 0$). Моделям DAA и LFA соответствуют сплошные и пунктирные линии. Штриховыми линиями показаны вклады излучения в вакуум. Для частиц большого радиуса ($R > 5\text{ }\mu\text{m}$) вакуумные контактансы находились по формулам (9), (16), а для более мелких частиц с радиусами $R \leq 5\text{ }\mu\text{m}$ — в соответствии с первым слагаемым формул (1), (10). Для сравнения конфигураций сфера-пластина и сфера-сфера на рис. 4 показаны результаты расчета отношения соответствующих контактансов $K(z_0)$ с учетом вакуумных вкладов для частиц с радиусами 1 , 5 и $25\text{ }\mu\text{m}$. Как видно из рис. 4, предположение авторов [20] о том, что $K(z_0) = 2$, не отвечает действительности. При $z_0 \leq 0.05\text{ }\mu\text{m}$ для частиц с радиусами $R = 5\text{--}25\text{ }\mu\text{m}$ $K(z_0) > 2$, а для частиц малого радиуса ($R = 1\text{ }\mu\text{m}$ и менее по нашим расчетам) эффективность теплового излучения в конфигурации двух сфер может стать даже более высокой при минимальных значениях ширины щели. При $z_0 < 0\text{ }\mu\text{m}$, как и следовало ожидать, модели DAA и LFA хорошо согласуются между собой. Величина $z_0 = 0.1\text{ }\mu\text{m}$ близка к длине волны поверхностных плазмонов и определяет эффективную ширину щели, в пределах которой теплоотдача в металлическом радиационном контакте быстро уменьшается до вакуумного уровня. Однако в диапазоне расстояний $0.1\text{--}10\text{ }\mu\text{m}$ обе модели существенно различаются: в LFA контактанс частицы, находящейся вблизи пластины, остается всегда ниже, чем в ее отсутствие, в то время как в DAA имеется минимум теплоотдачи при $z_0 \approx 1\text{ }\mu\text{m}$, после которого она восстанавливается до вакуумного значения. При $z_0 > 10\text{ }\mu\text{m}$ также наблюдаются слабые осцилляции.

Кратко остановимся на результатах эксперимента [25] для контакта Au-Au, в котором радиус зондирующей части иглы сканирующего микроскопа был равен 60 nm , а температуры зонда и поверхности составляли 300 и 100 K соответственно. При этих условиях

при минимальном расстоянии $z_0 = 1$ nm измеренная скорость теплоотдачи оказалась близкой к $\dot{Q} = 10^{-5}$ W. Расчет по модели DAA для этого случая дает величину $\dot{Q} = 3 \cdot 10^{-9}$ W и $G = 0.02$ nW/K (при $T = 300$ K и $\Delta T \rightarrow 0$). Налицо явное несоответствие экспериментальных и теоретических значений. Авторы [25], используя упрощенную теоретическую схему расчета, также отметили это несоответствие, и это побудило их к предложению специальной эвристической модели для согласования теоретических данных с экспериментальными. По нашему мнению, расхождение связано не с погрешностью теоретических моделей теплообмена, базирующихся на общепринятой флуктуационно-электромагнитной теории, а с неточной калибровкой экспериментальных данных, что могло привести к зна-

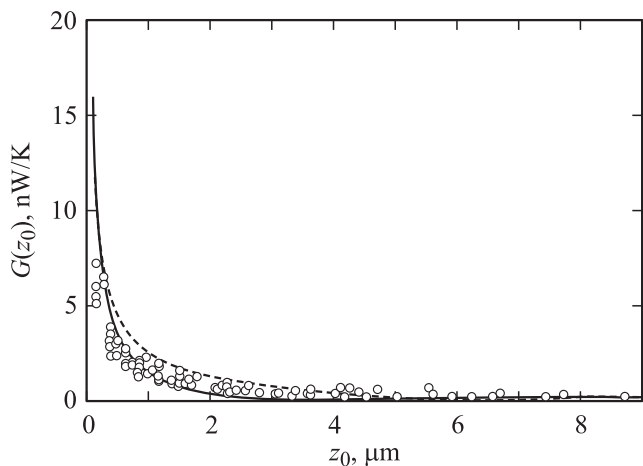


Рис. 5. Тепловой кондактанс сферической частицы диоксида кремния с радиусом $R = 25 \mu\text{m}$ в вакуумном контакте со стеклянной пластиной без учета излучения в вакуум. $T_1 = 346.5$ K, $T_2 = 300$ K. Сплошная линия — DAA (без учета вклада излучения в вакуум), штриховая — LFA, точки — экспериментальные данные [28].

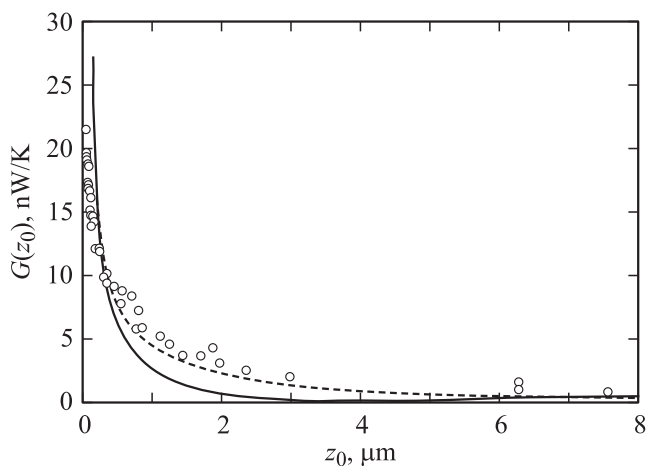


Рис. 6. То же, что на рис. 5, при $R = 47 \mu\text{m}$, $T_1 = 316.5$ K, $T_2 = 300$ K. Точками показаны экспериментальные данные [26,27]. Результаты DAA увеличены на 0.1 nW/K для того, чтобы значения кондактанса были положительными.

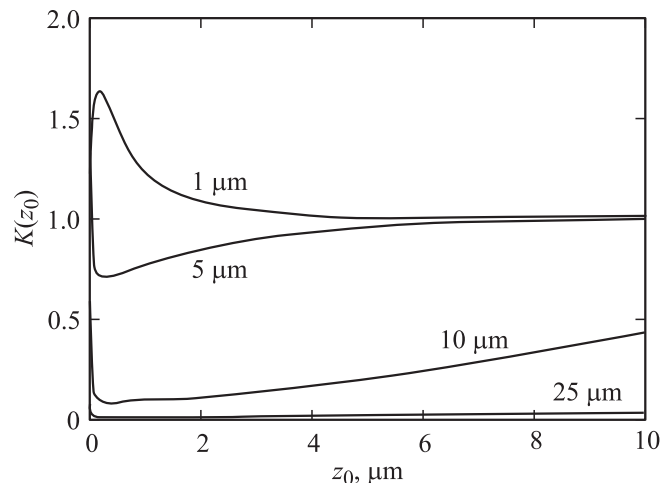


Рис. 7. То же, что на рис. 4, для частиц диоксида кремния и стеклянной пластины.

чительному завышению результатов измерений. Об этом свидетельствует то, что качественный ход зависимости $\dot{Q}(z_0)$ в [25] хорошо согласуется с теоретически ожидаемым: теплоотдача характеризуется такой же критической шириной зазора $0.1 \mu\text{m}$, по достижении которой она (в металлическом контакте) приближается к вакуумному уровню. Имеется согласие и с величиной теоретически ожидаемого относительного изменения мощности излучения (на два порядка величины) при увеличении z_0 от 1 до 100 nm. Еще один аргумент в подтверждение сказанного состоит в том, что величина радиационно-теплового кондактанса в эксперименте [25] значительно превышает измеренные значения кондактанса в случае диэлектрических материалов, что в корне противоречит теоретическим представлениям (см. далее).

Результаты расчета тепловых кондактансов для частиц диоксида кремния вблизи поверхности стекла представлены на рис. 5–7. Наряду с расчетными данными моделей DAA и LFA (сплошные и штриховые линии) на рис. 5, 6 показаны также результаты экспериментов [26–28] для частиц с радиусами 25 и $47 \mu\text{m}$. В обоих случаях температуры пластин фиксировались на уровне 300 K, а температуры частиц составляли соответственно 346.5 и 316.5 K. Как следует из рисунков, теоретические модели предсказывают в несколько раз более интенсивное тепловое излучение частиц при $z_0 < 0.1 \mu\text{m}$. Для частиц с радиусом $R = 25 \mu\text{m}$ результаты расчета в модели DAA хорошо согласуются с экспериментальными значениями в диапазоне расстояний 0.3 – $2 \mu\text{m}$ и выглядят предпочтительнее по сравнению с LFA. Для частиц с радиусом $R = 47 \mu\text{m}$ картина обратная. Причем при $z_0 > 1 \mu\text{m}$ линия LFA опускается даже ниже экспериментальных значений (ср. рис. 5 и 6). Возможно, что при нормировке экспериментальных данных в [28] при вычитании вклада фонового излучения также имелась определенная погрешность.

Из рис. 5, 6 следует также, что теплоотдача диэлектрических частиц при $z_0 < 0.1 \mu\text{m}$ оказывается более

чем на порядок величины выше, чем у металлических частиц (рис. 2, 3), а характерное расстояние, на котором она достигает вакуумного уровня, увеличивается до нескольких микрометров. Это обусловлено тем, что резонансы поглощения диоксида кремния соответствуют длинам волн около 7 и 20 μm , поэтому область ближнего поля простирается дальше, чем в случае металлических тел. Такое же соотношение получается и при сравнении контактанса двух пластин (см. (8)): при $l = 0.01 \mu\text{m}$ контактанс стеклянных пластин в 50 раз выше, чем металлических. Примерно в той же пропорции находятся контактансы частиц при излучении в вакуум. Так, в частности, для частиц диоксида кремния с радиусом $R = 25 \mu\text{m}$ вакуумный контактанс составляет 36.6 нВ/К (расчет по формуле (9) при $T = 300 \text{ K}$), а для металлических — только 0.48 нВ/К. Для мелких частиц с радиусом 0.05 μm (расчет по формуле (10), первое слагаемое) контактансы в случае диоксида кремния и золота составляют 0.15 и 0.002 рВ/К, но их отношение практически не изменяется.

На рис. 7 сравнивается теплоотдача в конфигурациях сфера–пластина и сфера–сфера. Как показывают результаты, отношение $K(z_0)$ контактансов для этих случаев противоположным образом зависит от радиуса частиц по сравнению со случаем металлических материалов. В отличие от рис. 4 при малой ширине щели для мелких диэлектрических частиц ($R \leq 1 \mu\text{m}$) $K(z_0) > 1$, а при переходе к более крупным частицам $K(z_0)$ резко уменьшается, поэтому теплоотдача в конфигурации двух сфер большого радиуса становится значительно более эффективной, чем в конфигурации сфера–пластина (ср. зависимости для $R = 10$ и $25 \mu\text{m}$). Напротив, для металлических тел (рис. 4) теплоотдача больших частиц в конфигурации сфера–пластина более эффективна, а для мелких менее эффективна, чем в конфигурации сфера–сфера.

5. Заключение

Рассмотрены теоретические модели радиационного теплообмена в вакуумных контактах сферических частиц с пластинами, основанные на флуктуационно-электромагнитной теории и допускающие точное аналитическое решение: конфигурации параллельных пластин, двух дипольных частиц и дипольной частицы вблизи пластины. Для перехода к конфигурации сфера–пластина с малой шириной зазора применяется локально-плоское приближение, основанное на выражении для скорости теплоотдачи в системе параллельных пластин, а также предложен новый вариант аддитивно-дипольного приближения. Такой же подход использован для расчета теплообмена двух сферических частиц при малой ширине зазора. Теплоотдача частиц в вакуум рассчитывается в классическом приближении Стефана–Больцмана для частиц большого радиуса и на основе дипольного приближения для частиц малого радиуса.

На основе численных расчетов делается вывод о том, что теоретические модели DAA и LFA достаточно

хорошо описывают результаты измерений теплоотдачи в контактах частиц диоксида кремния со стеклом в диапазоне расстояний 0.2–3 μm . При меньших расстояниях теоретически ожидаемые контактансы возрастают более круто. Для более детального изучения характера теплообмена в области расстояний 3–10 μm необходимы дополнительные измерения с корректным учетом температурного состояния вакуумного фона.

Показано, что радиационно-тепловые контактансы в системе металлических тел в несколько десятков раз ниже, чем в случае ионных диэлектриков. Характерная величина ширины щели, при которой контактанс асимптотически приближается к вакуумным значениям, составляет для металлов 0.1 μm , а для диоксида кремния — несколько микрометров. Кроме того, обнаружены особенности в соотношении контактансов для конфигураций сфера–сфера и сфера–пластина: в вакуумном контакте диэлектрических сфер большого радиуса ($R \geq 5 \mu\text{m}$) контактанс выше, чем в контакте сфера–пластина (при малой ширине зазора), а в контакте металлических тел — наоборот.

Анализируются причины резкого расхождения теоретических оценок и экспериментальных измерений радиационного контактанса [26] в вакуумном контакте металлического зонда сканирующего микроскопа с поверхностью золота.

Авторы считают своим приятным долгом выразить благодарность д-ру Sheng Shen за ценную информацию о результатах измерений.

Приложение

$$Y_1(x, y) = \int_1^{1+y} \exp(-xz) [y(z-1) - (z-1)^2] dz$$

$$= \frac{(xy+2)}{x^3} \exp(-x(1+y)) + \frac{(xy-2)}{x^3} \exp(-x), \quad (\text{П1})$$

$$Y_2(x, y) = \int_1^{1+y} \cos(xz) [y(z-1) - (z-1)^2] dz = -\frac{y}{x^2} \cos$$

$$\times (x(1+y)) + \frac{2}{x^3} \sin(x(1+y)) - \frac{y}{x^2} \cos x - \frac{2}{x^3} \sin x, \quad (\text{П2})$$

$$Y_3(x, y) = \int_1^{1+y} \sin(xz) [y(z-1) - (z-1)^2] dz = -\frac{y}{x^2} \sin$$

$$\times (x(1+y)) - \frac{2}{x^3} \cos(x(1+y)) - \frac{y}{x^2} \sin x + \frac{2}{x^3} \cos x, \quad (\text{П3})$$

$$f_1(x) = \frac{3}{32} \left[\ln(1-x^2) + \frac{x^2(2-x^2)}{2(1-x^2)} \right], \quad (\text{П4})$$

$$f_2(x) = \frac{3}{32} \left[2x^2 - (3x^2 - 2) \ln(1 - x^2) - x^3 \ln \frac{1+x}{1-x} \right], \quad (\text{П5})$$

$$f_3(x) = \frac{3}{320} \left[11x^4 + 2x^2 - (10x^3 - 2x^5) \ln \frac{1+x}{1-x} - (10x^2 - 2) \ln(1 - x^2) \right]. \quad (\text{П6})$$

- [29] G. Mie. *Ann. Phys.* **25**, 377 (1908).
 [30] Bo E. Sernelius, C.E. Roman-Velasquez. *Phys. Rev. A* **78**, 032 111 (2008).
 [31] E. Palik. *Nandbook of optical constants of solids*. Academic Sci., N.Y. (1985).
 [32] Л.Д. Ландау, Е.М. Лифшиц. *Электродинамика сплошных сред*. Наука, М. (1982). 620 с.
 [33] G.V. Dedkov, A.A. Kyasov. *Eur. Phys. Lett.* **74**, 44 005 (2007); Г.В. Дедков, А.А. Кясов. *Письма в ЖТФ* **33**, 9, 61 (2007).

Список литературы

- [1] С.М. Рыгов. *Теория равновесных электрических флуктуаций и теплового излучения*. Изд-во АН СССР, М. (1953). 231 с.
 [2] М.Л. Левин, С.М. Рыгов. *Теория равновесных тепловых флуктуаций в электродинамике*. Наука, М. (1967). 308 с.
 [3] D. Polder, M. Van Hove. *Phys. Rev. B* **4**, 3303 (1971).
 [4] R.P. Caren. *Int. J. Heat Mass Transfer* **17**, 755 (1974).
 [5] М.Л. Левин, В.Г. Полевой, С.М. Рыгов. *ЖЭТФ* **79**, 2087 (1980).
 [6] J.J. Loomis, H.J. Maris. *Phys. Rev. B* **50**, 18 517 (1994).
 [7] J.B. Pendry. *J. Phys.: Cond. Matter* **11**, 6621 (1999).
 [8] A.I. Volokitin, B.N.J. Persson. *Phys. Rev. B* **63**, 205 404 (2001).
 [9] J.-P. Mulet, K. Joulain, R. Carminati, J.-J. Greffet. *Appl. Phys. Lett.* **78**, 19, 293 (2001).
 [10] А.И. Волокитин, Б.Н.Дж. Перссон. *УФН* **177**, 9, 921 (2007).
 [11] P.-O. Chapuis, M. Laroche, S. Volz, J.-J. Greffet. *Appl. Phys. Lett.* **92**, 20, 210 906 (2008).
 [12] A. Perez-Madrid, J.M. Rubi, L.C. Lapas. *Phys. Rev. B* **77**, 155 417 (2008).
 [13] A. Narayanaswamy, Gang Chen. *Phys. Rev. B* **77**, 075 125 (2008).
 [14] G.V. Dedkov, A.A. Kyasov. *Surf. Sci.* **604**, 561 (2010).
 [15] Г.В. Дедков, А.А. Кясов. *Наноструктуры. Мат. физика и моделирование* **1**, 2, 5 (2009); *ФТГ* **51**, 1, 3 (2009); G.V. Dedkov, A.A. Kyasov. *J. Phys.: Cond. Matter* **20**, 35, 354 006 (2008).
 [16] Ю.С. Бараш. *Силы Ван-дер-Ваальса*. Наука, М. (1988). 344 с.
 [17] M. Bordag, U. Mohideen, V.M. Mostepanenko. *Phys. Rep.* **1**, 353 (2001).
 [18] K. Joulain, J.-P. Mulet, F. Marquier, R. Carminati, J.-J. Greffet. *Surf. Sci. Rep.* **57**, 59 (2005).
 [19] G.V. Dedkov, A.A. Kyasov. *J. Comp. Theor. Nanoscience* **7**, 1 (2010).
 [20] Г.В. Дедков, А.А. Кясов. *Письма в ЖТФ* **36**, 7, 66 (2010).
 [21] Г.В. Дедков, А.А. Кясов. *Письма в ЖТФ* **36**, 18, 32 (2010).
 [22] С.М. Hargreaves. *Phys. Lett.* **30A**, 491 (1969).
 [23] K. Dransfeld, J. Xu. *J. Microsc.* **152**, 35 (1988).
 [24] J.-B. Xu, K. Lauger, R. Moller, K. Dransfeld, I.H. Wilson. *J. Appl. Phys.* **76**, 7209 (1994).
 [25] A. Kittel, W. Muller-Hirsch, J. Parisi, S.A. Biehs, D. Reddig, M. Holthaus. *Phys. Rev. Lett.* **95**, 224 301 (2005).
 [26] A. Narayanaswamy, Sheng Shen, Gang Chen. *Phys. Rev. B* **78**, 115 303 (2008).
 [27] A. Narayanaswamy, Sheng Shen, Lu Xu, Xiaoyuan Chen, Gang Chen. *Appl. Phys. A* **96**, 357 (2009).
 [28] Sheng Shen, A. Narayanaswamy, Gang Chen. *Nano Lett.* **9**, 8, 2909 (2009).